

# SELF-ORGANIZED CRITICALITY

BAK-TANG-WIESENFELD MODEL E MANNA MODEL

---

Francesco Bonilauri

Come sono definiti i sistemi con criticalità autorganizzata? Si potrebbe dire che sono caratterizzati da invarianza di scala senza bisogno di tuning, ma questa definizione risulta troppo larga e comprende anche fenomeni non-critici come, per esempio, la diffusione.

Nella maggior parte dei casi i sistemi sospettati di manifestare criticalità autorganizzata mostrano una forma di scaling e una forma di avalanching, suggerendo una separazione delle scale temporali.

# MODELLI



# ORIGINAL BAK-TANG-WIESENFELD MODEL (1987)

Driving stocastico (bulk) e rilassamento deterministico, che avviene quando la pendenza supera un valore di soglia.

## Bak-Tang-Wiesenfeld model

Su un reticolo con  $q$  primi vicini:

- **Driving:** Si aggiunge un grano in un sito random  $i$  e si aggiorna la pendenza dei suoi vicini a monte  $j$ :  
$$z_i \rightarrow z_i + \frac{q}{2} \quad z_j \rightarrow z_j - 1$$
- **Toppling:** Ogni sito con pendenza  $z_i > z^c$  ridistribuisce  $q$  grani ai suoi primi vicini, continuando a step paralleli fino a quiescenza:  $z_i \rightarrow z_i - q \quad z_j \rightarrow z_j + 1$
- **Dissipazione:** Aperto al contorno, dove i grani escono dal sistema.

## ORIGINAL BAK-TANG-WIESENFELD MODEL (1987) [2]

- Separazione delle scale temporali di driving e di toppling
- Non abelliano (l'ordine delle operazioni cambia la configurazione di arrivo) per la sua regola di driving, dato che l'aggiunta di un grano influenza anche i siti vicini.

Generalizzazione abelliana di Dhar (1990) del modello BTW. Il parametro  $z_i$  non è più la pendenza ma l'altezza di una colonna di grani.

## Abellian Bak-Tang-Wiesenfeld model

- **Driving:** Si aggiunge un grano in un sito random  $i$ :  
 $z_i \rightarrow z_i + 1$
- **Toppling:** Ogni sito con altezza  $z_i > z^c$  ridistribuisce  $q$  grani ai suoi primi vicini, continuando a step paralleli fino a quiescenza:  $z_i \rightarrow z_i - q$        $z_j \rightarrow z_j + 1$
- **Dissipazione:** Aperto al contorno, dove i grani escono dal sistema.

Driving stocastico (bulk) e rilassamento **stocastico**. Modello a due stati, appartenente a una classe di universalità diversa dal modello BTW.

## Manna model

- **Driving:** Si aggiunge un grano in un sito random  $i$ :  
 $z_i \rightarrow z_i + 1$
- **Toppling:** Ogni sito con  $z_i > z^c = 1$  ridistribuisce **tutti** i suoi grani casualmente ai suoi primi vicini, continuando a step paralleli fino a quiescenza:  $z_i \rightarrow z_i - q \quad z_j \rightarrow z_j + 1$
- **Dissipazione:** Aperto al contorno, dove i grani escono dal sistema.

Il modello Manna originale non è abelliano per la sua regola di toppling:



Uguale al modello originale, ma il toppling ridistribuisce solo 2 grani alla volta.

## Abellian Manna model

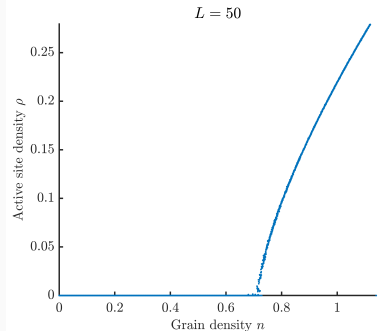
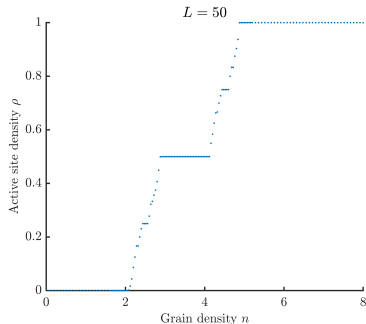
- **Driving:** Si aggiunge un grano in un sito random  $i$ :  
 $z_i \rightarrow z_i + 1$
- **Toppling:** Ogni sito con  $z_i > z^c = 1$  ridistribuisce **due** i suoi grani casualmente ai suoi primi vicini, continuando a step paralleli fino a quiescenza:  $z_i \rightarrow z_i - q \quad z_j \rightarrow z_j + 1$
- **Dissipazione:** Aperto al contorno, dove i grani escono dal sistema.

## ABSORBING STATE PHASE TRANSITION

---

# FIXED ENERGY SANDPILES

- Imponendo condizioni periodiche al contorno e mantenendo solamente la dinamica di toppling ottengo sistemi chiusi con **numero di grani conservato**.
- Per densità di grani  $n \leq z^c$  esistono configurazioni assorbenti in cui la dinamica si ferma. Mi aspetto anche **una densità critica**  $n_c$  con una transizione da una fase assorbente a una attiva e il parametro d'ordine  $\rho_a$  si annulla.



Nel sistema aperto il parametro di controllo  $n$  è costantemente aumentato dalla corrente  $h$  (il driving), mentre *in presenza di attività* è diminuito dal rate di dissipazione  $\epsilon$ . In campo medio questo è riassunto con

$$\langle \dot{n} \rangle = \langle h - \epsilon \rho_a(n) \rangle$$

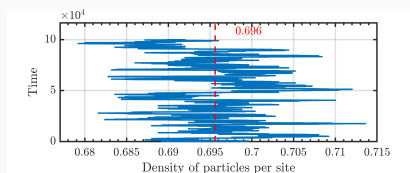
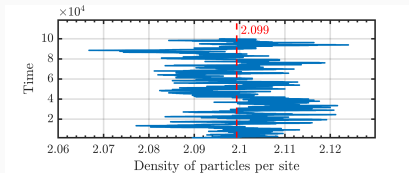
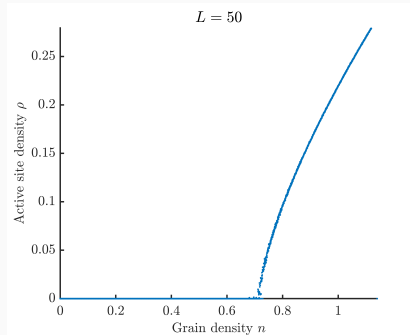
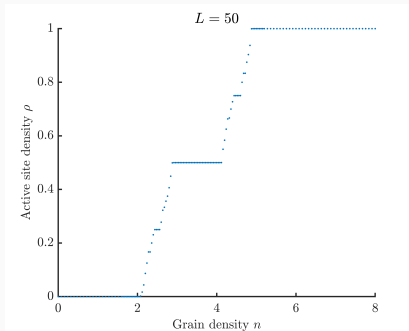
Assumendo il sistema raggiunga stazionarietà  $\dot{n} = 0$  si ottiene

$$\langle \rho_a \rangle = \frac{h}{\epsilon}$$

Le due scale di tempo sono separate e il meccanismo di driving si ferma durante il toppling, suggerendo  $h \rightarrow 0$  e quindi anche

$$\langle \rho_a \rangle \rightarrow 0$$

# CONFRONTO



# SCALING LAW ED ESPONENTI CRITICI

---

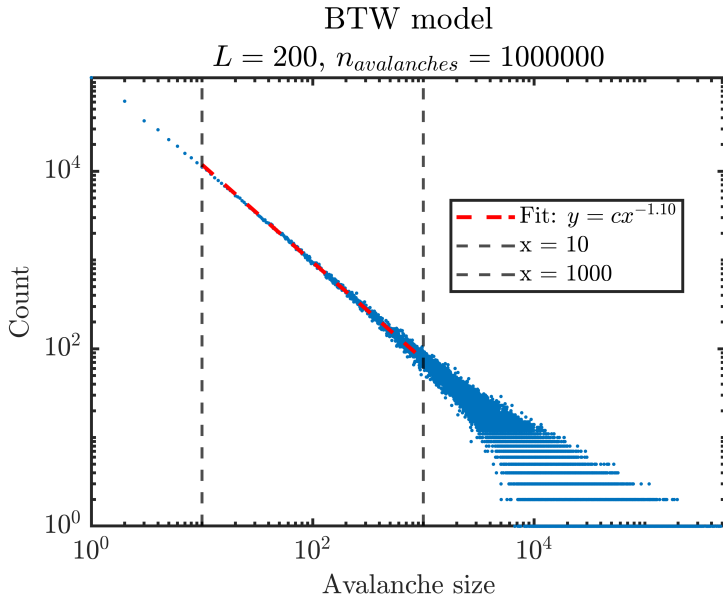
La distribuzione delle valanghe nei modelli sandpile seguono **leggi di scaling a potenza**, sia rispetto alla taglia  $s$  che alla loro durata  $T$ .

$$P(s; L) = s^{-\tau} f\left(\frac{s}{s_c(L)}\right) \quad \text{con } s_c(L) = aL^D \text{ e } s \gg s_0$$

$$P(T; L) = T^{-\alpha} f\left(\frac{T}{T_c(L)}\right) \quad \text{con } T_c(L) = bL^z \text{ e } T \gg T_0$$

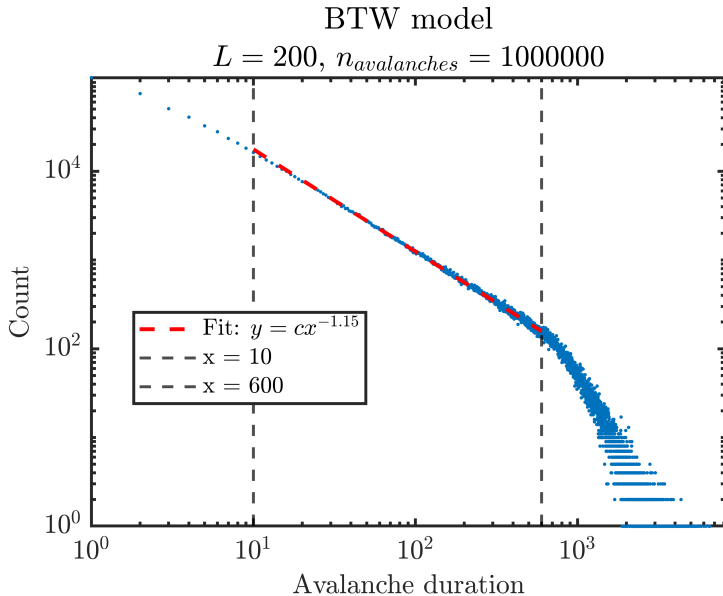
dove  $\tau$  e  $\alpha$  sono rispettivamente l'avalanche size e duration exponents, mentre  $D$  e  $z$  sono la avalanche dimension e dynamical exponent.

# RISULTATI DELLA SIMULAZIONE: BTW - AVALANCHE SIZE

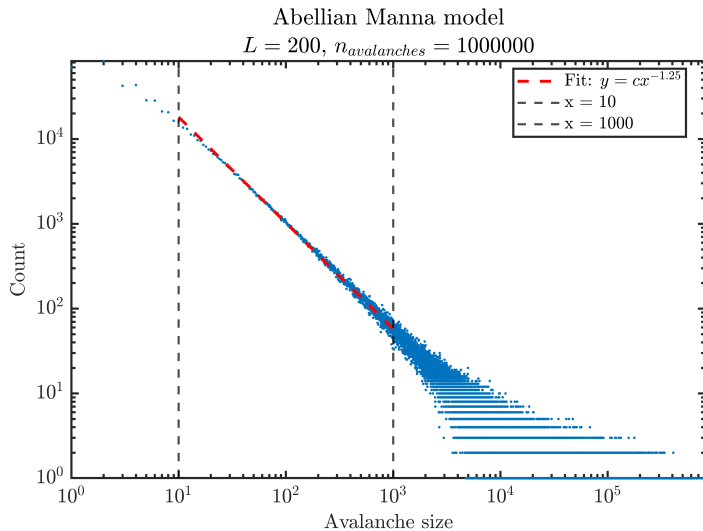


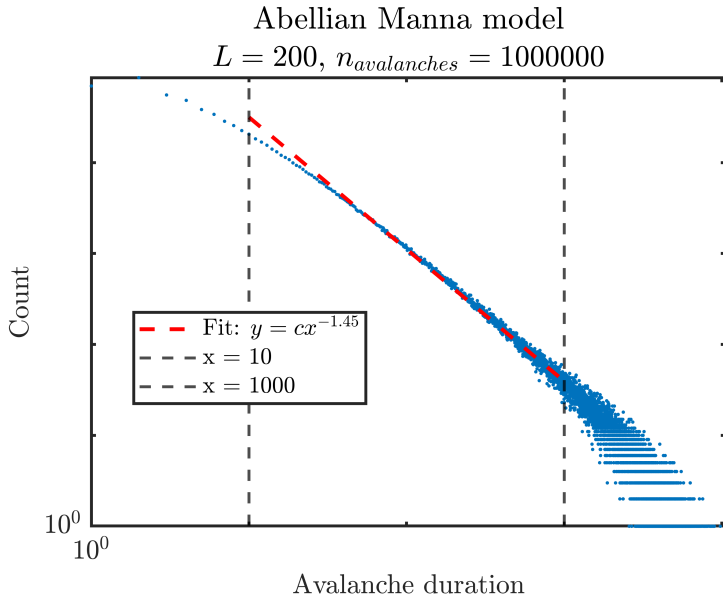


# RISULTATI DELLA SIMULAZIONE: BTW - AVALANCHE DURATION

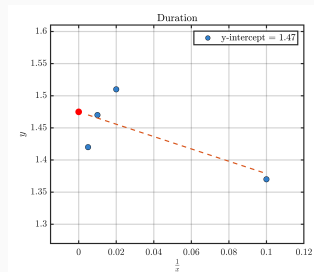
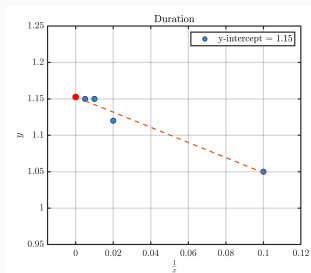
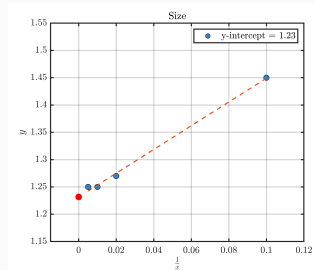
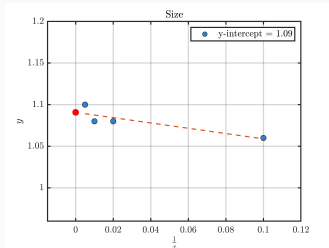


# RISULTATI DELLA SIMULAZIONE: MANNA - AVALANCHE SIZE





# INTERPOLAZIONE PER $L \rightarrow \infty$







## REFERENCES

---

- [1] Per Bak, Chao Tang, and Kurt Wiesenfeld. **“Self-Organized Criticality: An Explanation of the  $1/f$  Noise”**. In: *Physical Review Letters* 59.4 (July 27, 1987), pp. 381–384. DOI: 10.1103/PhysRevLett.59.381. URL: <https://link.aps.org/doi/10.1103/PhysRevLett.59.381> (visited on 07/15/2024).
- [2] Asa Ben-Hur and Ofer Biham. **“Universality in Sandpile Models”**. In: *Physical Review E* 53.2 (Feb. 1, 1996), R1317–R1320. DOI: 10.1103/PhysRevE.53.R1317. URL: <https://link.aps.org/doi/10.1103/PhysRevE.53.R1317> (visited on 08/16/2024).
- [3] Deepak Dhar. **“Self-Organized Critical State of Sandpile Automaton Models”**. In: *Physical Review Letters* 64.14 (Apr. 2, 1990), pp. 1613–1616. ISSN: 0031-9007. DOI: 10.1103/PhysRevLett.64.1613. URL: <https://link.aps.org/doi/10.1103/PhysRevLett.64.1613> (visited on 08/23/2024).



- [4] Deepak Dhar. ***Some Results and a Conjecture for Manna's Stochastic Sandpile Model.*** arXiv.org. Feb. 10, 1999. DOI: 10.1016/S0378-4371(99)00149-1. URL: <https://arxiv.org/abs/cond-mat/9902137v2> (visited on 08/16/2024).
- [5] ***GitHub - FrancescoBonilauri/SOC.*** URL: <https://github.com/FrancescoBonilauri/SOC> (visited on 09/10/2024).
- [6] Malte Henkel et al. ***Absorbing Phase Transitions.*** Non-Equilibrium Phase Transitions / Malte Henkel; Haye Hinrichsen; Sven Lübeck Volume 1. Dordrecht: Springer, 2008. 385 pp. ISBN: 978-1-4020-8764-6.
- [7] Gunnar Pruessner. ***Self-Organised Criticality: Theory, Models, and Characterisation.*** Cambridge ; New York: Cambridge University Press, 2012. 494 pp. ISBN: 978-0-521-85335-4.
- [8] Gunnar Pruessner. ***SOC Computer Simulations.*** Jan. 14, 2013. DOI: 10.48550/arXiv.1301.2918. arXiv: 1301.2918 [cond-mat,

physics:physics]. URL: <http://arxiv.org/abs/1301.2918> (visited on 08/16/2024). Pre-published.

- [9] Chao Tang and Per Bak. **“Critical Exponents and Scaling Relations for Self-Organized Critical Phenomena”**. In: *Physical Review Letters* 60.23 (June 6, 1988), pp. 2347–2350. DOI: 10.1103/PhysRevLett.60.2347. URL: <https://link.aps.org/doi/10.1103/PhysRevLett.60.2347> (visited on 09/10/2024).